

ستتر و مشخصه یابی نانو ذرات بردیجیت و بردیجیت با ناخالصی روی

قربانی هویه، صفورا^۱; اردیانیان، مهدی^۲

^۱ دانشجوی کارشناسی ارشد، دانشکاه فیزیک، دانشگاه دامغان

^۲ استادیار دانشگاه دامغان، دانشکاه فیزیک، دانشگاه دامغان

چکیده

در این تحقیق پودر بردیجیت نانوساختاری استفاده از مواد اولیه ترا اتیل ارتوسیلیکات (TEOS) نیترات کلسیم ۴ آبه و نیترات منیزیم ۶ آبه به روش سل-ژل و آسیاب کاری مکانیکی با اندازه بلورک کمتر از ۵۰ nm تهیه شد. برای ستتر بردیجیت با ناخالصی روی در مرحله اضافه کردن نیترات منیزیم به محلول TEOS روی به آن اضافه شد. ساختار نمونه ها مورد ارزیابی قرار گرفت. نتایج بررسی ساختاری نمونه ها با استفاده از روش پراش پرتو ایکس (XRD) نشان داد که فاز غالب بردیجیت است ضمن این که اندازه نانوکریستال های بردیجیت کمتر از ۱۰۰ انانومتری باشد. همچنین آلایش با روی باعث کاهش اندازه بلورک ها می شود.

Synthesize and characterization of nano particle of Bredigite and Zinc doped Bredigite

Ghorbani hooyeh, Safoura¹; Ardyanian, mahdi²

¹Graduate student, Department of Physics, University of Damghan

²Damghan University, Department of Physics, University of Damghan

Abstract

In this research work Bredigite nanostructure powder with Crystallite size up to 50 nm was synthesized using tetraethyl orthosilicate (TEOS), 4 hydrated Calcium nitrate, and 6 hydrated magnesium nitrate by Sol-gel method and mechanical milling. Zinc doped Bredigite was synthesized by replacing zinc nitrate instead of magnesium nitrate to TEOS. Structural study results by XRD technique describes that the major phase of the samples is Bredigite with crystallite size up to 100nm. Zinc doping leads to decrease of the crystallite size.

می باشد. مطالعات نشان داده است که نانوسرامیک های زیست فعال پایه سیلیکاتی حاوی منیزیم نسبت به نانوسرامیکهای کلسیم فسفاتی دارای خواص مکانیکی بهتری نظیر چقرمگی شکست، استحکام خمشی و مدول یانگ می باشند و همچنین نرخ تخریب و خواص مکانیکی قابل کنترل تری نسبت به کلسیم فسفات دارند. همچنین قابلیت تشکیل آپاتیت شبه استخوان، ترغیب تکثیر سلولهای استبوبلاست توسط محصولات یونی آزاد شده از این نانوسرامیک ها و قابلیت رگزایی در محیط بیولوژیکی گواه بر زیست فعالی و زیست سازگاری خوب آنها می باشد. استفاده گسترده از مواد غیرآلی شامل منیزیم در کاربرد های پژوهشی در کانون توجه تحقیقات زیادی قرار گرفته است.

مقدمه

احیا و جایگزینی بافت استخوان از دست رفته ناشی از صدمه و بیماری یک چالش بزرگ جراحی می باشد. زیست سازگاری خوب برخی از نانوسرامیک ها استفاده از آن ها را به عنوان کاشتنی جذاب می کند [1]. در میان بیوسرامیک های نانوساختار، نانوسرامیک های کلسیم فسفاتی دارای خواص هدایت کنندگی استخوان بسیار عالی، زیست فعالی و توانایی تشکیل یک پیوند قوی بین استخوان و کلسیم فسفات می باشند [2] با این حال کاربرد کلینیکی این سرامیک ها به دلیل خواص مکانیکی ضعیف شان به ویژه چقرمگی شکست پایین [3] و نرخ تخریب پذیری بالا [4] محدود شده است. بنابراین یافتن نانوسرامیک های جدید در جهت برآوردن نیازهای جراحی ایمپلنت های ارتوپدی و دندانی ضروری

بدین صورت که پودر پس از کلسینه شدن داخل محفظه آسیاب ریخته و به مدت ۵ ساعت با سرعت چرخش ۲۵۰ دور بر دقيقه آسیاب شد.

به بریدیجیت ناخالصی روی با نسبت مولی ($Mg/Zn=0.5/0.5$) و ($Mg/Zn=0.0/1$) اضافه شد.

بدین صورت که از نیترات روی ۶ آبه استفاده شد و در مرحله ۵ ساخت سل به ترتیب با نسبت مولی

$[TEOS/Mg(NO_3)_2/Zn(NO_3)_2/Ca(NO_3)_2O=4:0.5:0.5:7]$

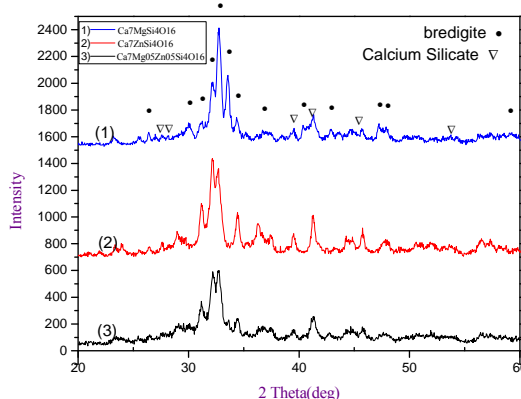
$[TEOS/Zn(NO_3)_2/Ca(NO_3)_2=4:1:7]$

به سل اضافه شد. تمامی مراحل خشک کردن و آسیاب کردن مانند بالا انجام شد و در نهایت نانو پودرهای بریدیجیت و بریدیجیت با ناخالصی روی بدست آمد.

بررسی مشخصات نانو پودر بریدیجیت

۱. آنالیز پراش پرتوایکس پودر

در شکل ۱ طیف XRD پودر سنتز شده بریدیجیت و بریدیجیت آلاییده با ناخالصی روی نشان داده شده است. در الگوی مورد نظر فازهای بریدیجیت و کلسیم سیلیکات مشخص شده اند.



شکل ۱: الگوی پراش پرتوایکس پودر بریدیجیت و بریدیجیت آلاییده با روی

بررسی الگوها با استفاده از کارت های مرجع JCPDS انجام گرفت که حضور فاز بریدیجیت با شماره کارت ۰۰-۰۳۵-۰۲۶۰ مورد تایید قرار گرفت. الگوی پراش پودر بریدیجیت ساختار

نانو بیوسرامیک بریدیجیت از جمله نانوسرامیکهای سیستم سه تایی $MgO\cdot CaO\cdot SiO$ می باشد. بریدیجیت دارای زیست فعالی بالایی میباشد، هنگام غوطه وری بریدیجیت در محلول SBF علاوه بر تشکیل یک لایه هیدروکسی آپاتیت یک لایه غنی از سیلیکا بر روی سطح تشکیل خواهد شد [۵]. محصولات یونی حاصل از انحلال بریدیجیت تکثیر سلول ها را ترغیب میکند و زیست سازگاری خوبی را نشان می دهد که استفاده از این مواد را در کاربردهای مهندسی بافت بر جسته می کند [۶]. پوشش دهی با نانوساختار بریدیجیت بر روی ایمپلنت های فلزی مخصوصا آلیاژ منیزیم از جمله کاربردهای این نانوماده می باشد [۷].

مواد و روش سنتز

نانو ذرات بریدیجیت با استفاده از مواد اولیه تتراتیل اورتوسیلیکات، نیترات کلسیم ۴ آبه و نیترات منیزیم ۶ آبه به TEOS روش سل-ژل تهیه شدند. بدین صورت که ابتدا TEOS با آب و آسید نیتریک HNO_3 مولی $(TEOS/H_2O/HNO_3=1:4:0.08)$ ترکیب کرده و جهت هیدرولیز شدن به مدت ۳۰ دقیقه روی همزن مغناطیسی قرار گرفت. سپس نیترات کلسیم ۴ آبه و نیترات منیزیم ۶ آبه به محلول آماده شده با نسبت مولی $(TEOS/Mg(NO_3)_2/Ca(NO_3)_2=4:1:7)$

ترکیب کرده و به مدت ۵ ساعت روی همزن مغناطیسی در دمای اتاق هم زده شد. در مرحله ۵ بعد ژل بدست آمده را در آون در دمای $60^{\circ}C$ به مدت ۲۴ ساعت و سپس در دمای $120^{\circ}C$ به مدت ۴۸ ساعت نگه داری شد تا ژل خشک شود. در این مرحله یک ماده سفید رنگ کلوخه ای حاصل می شود. برای کلسینه شدن ماده حاصله در دمای $1150^{\circ}C$ داخل کوره به مدت ۲ ساعت قرار گرفت [۸].

برای بدست آورن نانو پودر بریدیجیت، پس از کلسینه شدن پودر از دستگاه آسیاب مکانیکی شامل ۴ گوی به قطر ۲ سانتی متر و محفظه همه از جنس زیرکونیا استفاده شد.

Ca₇Mg₀₅Zn₀₅Si₄O₁₆ فاز غالب همچنان بریدیجیت است ولی در Ca₇ZnSi₄O₁₆ که منیزیم کامل حذف شده و روی به جای آن قرار گرفته فاز غالب کلسیم سیلیکات است و فاز اکسید روی هم دیده می شود.

مرجع ها

- [۱] Brodie JC, Goldie E, Connel G, Merry J, Grant MH. "Osteoblast interactions with calcium phosphate ceramics modified by coating with type I collagen." *J Biomed Mater Res A*, ۷۴(۲۰۰۵) ۴۰۹-۲۱
- [۲] LeGeros RZ., "Properties of osteocompatible biomaterials: calcium phosphates." *Clin Orthop Relat Res*, ۳۹۵(۲۰۰۲) ۸۱-۹۸
- [۳] Hench LL, Wilson J. "Surface-active biomaterials." *Science*, ۲۲۶ (۱۹۸۴) ۶۳۰-۶
- [۴] Nonami T, Tsutsumi S." Study of diopside ceramics for biomaterials." *J Mater Sci Mater Med*, 10(1999) ۴۷۵-۹
- [۵] Huang XH, Chang J., "Preparation of nanocrystalline bredigite powders with apatite-forming ability by a simple combustion method." *Mater. Res. Bull.*, ۴۳(۲۰۰۸) ۱۶۱۵-۲
- [۶] J, Lu JX, Yan YG, Li H, Ma J, Wu XH, "Preparation and characterization of well ordered mesoporous diopside nanobiomaterial". *J Nanosci Nanotechnol.*, ۱۱(۰۱) ۱۰۷۴-۹
- [۷] Wu CT, Chang J, Zhai WY, Ni SY., "A novel bioactive porous bredigite scaffold with biomimetic apatite layer for bone tissue engineering." *J Mater Sci. Mater. Med.*, 18(۲۰۰۷) ۸۵۷-۶۴
- [۸] M. Kouhi , M. Shamanian, M. Fathi, A.Samadikuchaksaraei,A.Mehdipour, pp ۱۰۷۰-۱۰۷۱, April ۲۰۱۶
- [۹] Devi, P. Geetha, and A. Sakthi Velu J. Theo. & App. Phys. (۲۰۱۶): ۸-۱

اور تورومبیک را مشخص می کند و با نتایج سایر پژوهشگران نیز مطابقت دارد[۸].

البته همانطور که مشخص است در کار فاز بریدیجیت مقدار کمی فاز کلسیم سیلیکات نیز مشاهده شد.

با توجه به الگوهای بدست آمده از طیف XRD نمونه ها با وارد کردن ناخالصی روی، شدت قله ها کم و پهنای آن زیاد شده و در نتیجه اندازه ذرات کوچکتر شده است. قله ارجح در الگوی بریدیجیت و Ca₇ZnSi₄O₁₆ (۲۵۱) است در حالی که در الگوی Ca₇Mg₀₅Si₄O₁₆ همچنین در الگوی Ca₇ZnSi₄O₁₆ صفحات (۰۰۲) و (۱۰۱) مربوط به اکسید روی است.

و همچنین اندازه کریستالی ذرات را می توان با استفاده از قله ارجح در الگوی XRD تعیین نمود ، رابطه شر وابستگی اندازه ذرات به گستردگی و پهن شدن خطوط پراش را به صورت رابطه (۱) نشان می دهد :

$$D = \frac{0.9\lambda}{\beta \cos \theta} \quad (1)$$

که در آن λ طول موج بر حسب آنگستروم، θ زاویه پراش، β پهنای قله در نصف شدت بیشینه (برحسب رادیان) است [۹]. اندازه بلورک ها با رابطه شر و داده های XRD به دست آمده و در جدول (۱) درج شده است.

جدول ۱: اندازه نانو بلورک ها با استفاده از داده های XRD

Sample	hkl	2θ(degree)	D(Å)	Intensity	FWHM	Crystallite size (nm)
Ca ₇ MgSi ₄ O ₁₆	251	32.7327	2.73597	819.23	0.2362	50
Ca ₇ ZnSi ₄ O ₁₆	251	32.1649	2.78294	712.60	0.2755	40
Ca ₇ Mg ₀₅ Zn ₀₅ Si ₄ O ₁₆	251	32.7066	2.73808	508.74	0.2755	41
Ca ₇ Mg ₀₅ Zn ₀₅ Si ₄ O ₁₆	020	32.2208	2.77824	503.03	0.3149	34

نتیجه گیری

در این پژوهش نانو بیو سرامیک بریدیجیت با روش سل-ژل تهیه شد که اندازه ذرات آن در مقایسه با روش های گفته شده کوچکتر و زیر ۱۰۰ نانومتر است. همچنین اضافه کردن ناخالصی روی، به آن باعث کوچکتر شدن اندازه ذرات می شود. در